

# 迭轧薄板工艺基础

Г.Н. 舒 宾 著

王 廷 淳 譯

冶金工业出版社

# 叠轧薄板工艺基础

Г. Н. 舒 宾 著

王 廷 淳 譯

冶金工业出版社

本書研究疊軋白鐵皮、屋面鐵、電機及變壓器鋼板的工藝特徵。著者引述了在確定鋼板軋製合理使用條件方面的研究成果，闡明了改進軋制工藝及機械化過程的先進經驗。

本書供熱軋薄鋼板方面的工程技術人員閱讀。

Г.Н.ШУБИН: ОСНОВЫ ТЕХНОЛОГИИ ТОНКОЛИСТОВОЙ ПРОКАТ  
КИПАКЕТАМИ МЕТАЛЛУРГИЗДАТ (СВЕРДЛОВСК - 1955)

疊軋薄板工藝基礎 王廷溥 譯

編輯：葉建林 設計：趙香苓 周廣珍 責任校對：楊維琴

1957年8月第一版 1958年9月北京第二次印刷 1,034—6,033册

850×1168· $\frac{1}{32}$ ·96,000字·印張3 $\frac{24}{32}$ ·定價(10) 0.66元

崇文印刷厂印刷

新华書店發行

書號 0686

冶金工業出版社出版 (地址：北京市燈市口甲45號)

北京市書刊出版業營業許可証出字第093號

## 目 录

緒論.....	4
<b>第一章 薄板疊軋的特征.....</b>	<b>8</b>
在單輶傳動的二輶軋机上的軋制过程.....	10
薄板軋制时的压下規程.....	19
輶型对軋制过程的影响.....	24
車削后軋輶表面的形狀及其檢查.....	29
疊軋时鋼板粘合的機構.....	36
<b>第二章 鋼板軋輶及其使用的合理条件.....</b>	<b>45</b>
白口生鐵軋輶的性質.....	45
軋机上軋輶的調整.....	51
軋輶使用的热力規程.....	54
軋輶的人工冷卻.....	67
軋輶的預熱.....	75
軋輶在机架中的研磨.....	78
<b>第三章 各种鋼板的軋制.....</b>	<b>81</b>
屋面鐵的軋制.....	81
白鐵皮的軋制.....	84
电机和变压器鋼板的軋制.....	90
<b>第四章 鋼板軋机的机械化.....</b>	<b>98</b>
加热爐的机械化.....	98
金屬輸送的机械化.....	101
軋制过程中經過上輶傳送金屬的机械化.....	102
压下裝置的机械化.....	108
輶件折疊的机械化.....	111
輶型調整的自动化和机械化.....	113
鋼板生产的全盤机械化.....	115
<b>参考文献.....</b>	<b>119</b>

## 緒論

在二輥軋機上疊軋薄板已有約 300 年之久，這實質上是軋制過程應用於工業性鋼鐵加工的原始形式之一。由於具有平輥身的工作輥構造簡單，由於沒有用作傳動的齒輪機架，也由於基本的投資比較小，所以這種軋機適用於小型的工廠。只是後來由於對提高軋機生產力和對鋼板厚度的軋制精確度的要求，在軋制工藝、軋輥車削和增大傳動功率方面才引起一定的複雜性。

多年以來薄板的軋制只是依靠手工勞動。後來，當提出疊軋薄板必須機械化的問題時，由於疊軋在手工勞動條件下所形成的工藝特徵，實行機械化產生了很大的困難。

在很多工廠為了使軋制過程機械化容易起見，實行荒軋和精軋工作機架專門化，這可以助成局部的機械化，也可使原料（薄板坯）的重量得以增加，而這種增加在軋機手工操作時是受到限制的。

採用連續軋機軋制鋼板，使機械化問題可以得到更徹底的解決。在連續軋機上，鋼板在熱的和冷的狀態下，以寬達 2500 公厘的長帶鋼的形式進行軋制。在軋制過程充分自動化的條件下，能夠在這些鋼板軋機上，以高生產力和高精確度進行軋制，便在新的先進地位的現代技術水平上解決了鋼板軋制機械化的問題。

但是在連續軋機上熱軋鋼板厚度不能小於 1.5 公厘，因此厚度小於 1.5 公厘的鋼板要由連續的或可逆式的冷軋機上得出。冷軋鋼板具有更光潔的表面，更精確的尺寸和更好的金屬機械性質，但冷軋鋼板的生產組織使基本投資加大，使工藝複雜化，因此在建立冷軋薄板軋機的同時，熱軋疊板還仍然有着工業的意義。

大量的白鐵皮、屋面板、電機和變壓器鋼板都由熱軋得來，這些鋼板在冶金工業產品中佔了很大的份量，並且在這些鋼板方面國民經濟的需要還正日益增長。

在共产党第十九次代表大会的指令中，对发展板材方面提出了很大的任务，要完成这些任务，就必须继续改进对现有的钢板轧机的利用。

在钢板生产的發展过程中，也进行了设备和生产工艺的改进。压下規程大为强化，便保証了轧制周期的縮短和轧机生产能力的提高。

压下規程的强化是在生产工作者和学者的合作之下进行的。А. Ф. 戈洛文 (Головин) 教授的著作 [1], [2], Иг. М. 巴甫洛夫 (Павлов) 教授在塑性变形基础方面的著作和 В. А. 恰古諾夫 (Тягунов) 的著作 (依靠强化压下可以发掘生产的潜力) 对于轧制原理問題的研究有很大的影响。Г. К. 利沃夫 (Ливов) 的著作 [4] 和 Б. Э. 别利斯基 (Бельский) 的著作 [6] 在改进工艺过程方面广泛地綜合了已有的成就。

由于採用电热轧輶及高强度加鎂生鐵来生产轧輶，便使断輶大为縮減，提高了钢板轧机的生产能力。

由於进行了研究工作，由於學習和总结了先进工作方法，以及由於工厂生产單位和先进生产者的合理化活动，已經积累了很多經驗，並获得了薄板叠轧实际方面和原理方面的丰富資料。採用經過改进的工艺操作，保証了提高轧制精确度和改善钢板的表面。同一塊钢板各部分的厚度差，和同一批钢板各塊間的厚度差都得到了減小。波浪、瓢曲及其他钢板表面的缺陷大大減少了。也掌握了厚度到 0.1 公厘的变压器钢板的热轧。但是薄板轧制的很多問題在文献中还没有充分的說明。叠板的黏結 (сварка) 引起大量的廢品，而关于粘結的机构 (Механизм) 就沒有統一的見解。轧輶工作的热力情况决定着輶型和所轧钢板尺寸的精确度及其生产能力，但这方面也很少研究。

鑒於輶型的保持主要取决于其使用的热力情况，本書根据轧輶热平衡及其与热金属和周围介质的热交换，提出分析轧制过程的方法，對於轧輶的合理溫度規程問題 (这种溫度規程取决于輶型調整的技术)，給予了必要的答复。

这种分析轧制过程的方法，可以科学地論証为先进軋鋼工人們所採用的某些技术組織措施的作用。

例如，匀調的軋制過程和高軋制速度，今天在先进生产者的實踐中，已作为保証軋輶工作正常热力規程的主要条件而採用着。

为了調整辊型，在軋輶使用过程中採用人工冷却和加热並进行磨輶，对軋机的利用及其工作的合理化，开辟了广大的前程。

鑑於薄板热軋过程进一步强化以及減輕鋼板軋鋼工的劳动；闡明工厂在軋板生产机械化方面的經驗便具有很大的意义。

这一任务對於某些烏拉尔的老工厂尤为迫切，这些工厂需要改建其軋板車間，需要將設備現代化及改善軋制工艺。

解决这一重要任务最有效的方法，要算是在所有生产环节实现全盤机械化，根本改变鋼板軋机由於手工操作而复杂化了的軋制方式。

近些年來，很多工厂利用先进生产者有价值的首倡精神，以及在叠軋薄板軋机現代化方面的外国經驗，在軋板車間劳动过程机械化方面进行了並正在进行着巨大的工作。

但由於經驗交流不够广泛，虽然有些問題在很多情况下已在别的工厂得到解决，然而对个别工厂在解决这些軋制过程机械化的問題时却仍然發生困难。另一方面，个别被採用了的机械化方面的措施沒能和整个生产循环構成統一的整体，並不保証軋机生产能力大大提高，因而效果很小。並且，假如說在選擇鋼板軋机全盤机械化所需的設備方面已有了足够的經驗的話，那么在机械化軋机的軋制工艺方面，也还有很多与生产過程的繼續改进有关的尚未解决的問題。

尤其，在进行軋板車間改建設計时發生很多問題：關於在一个机架上兼軋薄板坯及叠板的合理性的問題；關於开坯軋机的工作制度和構造問題；關於叠板的重量和尺寸問題；關於大号叠板加热的速度問題等等。

因此，在本書中叙述了各工厂所採用的，荐用於实行薄板軋机全盤机械化的最有效的措施，也叙述了在改进薄板叠軋現有工

艺过程方面最重要的措施，即是根据在著者参与或指导下的，烏拉尔黑色金属科学研究院的轧钢实验室与工厂所共同进行的科学的研究工作的成果，来改进应用於白铁、屋面铁、电机及变压器钢板生产的工艺过程方面的措施。

共同参加研究工作的有工程师 П. Ф. 扎苏哈 (Засуха)，  
工程师 И.П. 科尔帕科夫 (Колпаков)，技术科学副博士 М.П.  
列德涅夫 (Леднев)，技术科学副博士 Д.И. 苏雅洛夫 (Суяров)  
及技术科学副博士 В. А. 沙德林 (Шадрин)。

шадрин  
засуха

шадрин

засуха

студене

студене

студене

студене

студене

## 第一章 薄板叠轧的特征

白铁皮、屋面铁、电机及变压器钢板的热轧大都在下辊传动的二辊式轧机上进行。这里轧机的工作机架（图1）由两个闭口牌坊，两个水平放置的轧辊及压下装置所组成，这种压下装置依压下螺丝的传动形式之不同，可以有各种不同的构造。

在轧辊强制压下（Плотный нажим）时，这种机架的牌坊的刚性能保证轧件的最小厚度为2—2.5公厘。轧件厚度小于2公厘时，由于牌坊及轧机其他零件弹性变形，延伸实际上便停止了。由此便产生了叠轧的方法，即是随着轧件厚度的减小，把钢板折叠或把几块钢板重叠在一起。轧件折叠以后成为叠板，其弯折的端部是闭合的，因此这种轧制方法称为「闭合叠板轧制」（Прокатка Закрытым пакетом）。

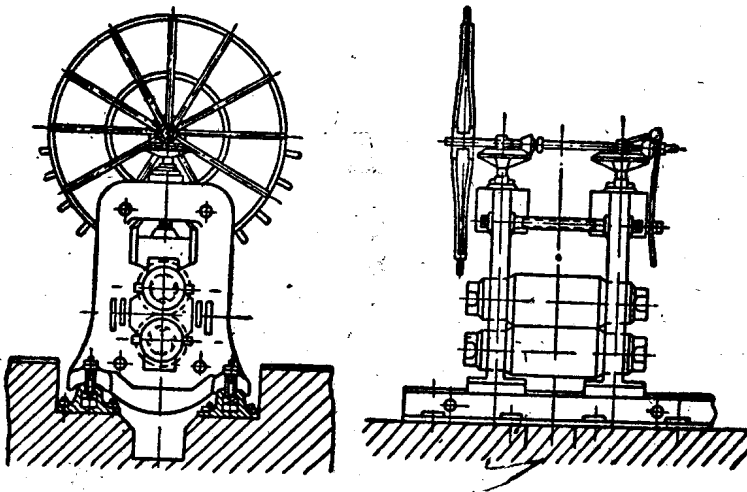


图1 二辊式钢板轧机机架的一般形式

几块钢板随意叠放在一起的叠板，其两端是自由开放的，这种情况下的轧制称为「开放叠板轧制」（Прокатка открытым пакетом）。

一叠中的钢板块数取决於钢板的最終厚度及叠板的总重量。用手工送料时，叠板的重量由 30 到 50 公斤，其块数由 4 到 8 块，在軋制極薄的钢板时可到 8 块以上。在机械化的軋机上，可以随钢板种类之不同而增加叠板的重量。

由几块钢板叠放而成的叠板的軋制，是在与一般縱向軋制不同的特殊情况下进行的。

上輥既未傳动，又受到頸部摩擦力的制动，只是在所軋叠板与軋輥間的摩擦力的作用下轉动着。因此可能的咬入角受到限制而为  $6^{\circ}$ — $9^{\circ}$ 。所有的軋制功全由有傳动的下輥来完成，这便引起变形区的特殊的应力状态。由於兩軋輥动作的差異遂使叠板中上下钢板的变形也不相同。

各钢板在强大的压力下通过軋輥时彼此压得十分紧，以致發生钢板的粘合（слипание）及局部的粘結（сварка）。为了防止钢板的粘結，採用了压下規程和加热工艺所規定的特殊措施。

和加热一样，叠板中钢板的冷却也是不均匀的，这使上下兩面的钢板与中部的钢板延伸各不相同。为了钢板延伸更均匀，将軋輥預先加热到  $400$ — $450^{\circ}$  的溫度再进行軋制。

由於高热的軋輥使軋輥頸部变热，当頸部潤滑剂成分不好时，潤滑剂便燃燒起来而放出煙气。

由於軋輥工作部分体积中溫度的不均匀，軋輥的車削便必須特殊而要車成凹形表面。

軋輥受热狀況的改变使輥身形狀及叠板寬度方面压下量的分佈也有所改变。寬度方面的压下量不均匀引起钢板很多缺点，及引起断輥，並在選擇压下規程时必須小心謹慎。

为了造成压下叠板时所必須的压力，軋輥借助於压下螺絲而互相紧密地压着。这种軋制称为「强制压下」（наглотном на-жиме）軋制。軋輥相压的紧密程度决定着工作机架的彈性变形，决定着所軋叠板可能的厚度，因而也决定着成品钢板的厚度。

所軋钢板厚度方面的精确度取决於軋輥的形狀，軋輥相压的紧密程度以及叠中钢板的塊数。

机架須由9—12个工人所組成的小組照管。在工作机架的前面軋鋼工扒平疊板，並將其送入軋輥。輥后工由机架后面接住疊板，並將其經過空轉的上輥傳送到前面。操縱压下螺絲的操縱輪可以造成必須的压下緊密程度。

在这种軋制過程的條件下，由於多年實踐的結果制定出了每種薄板一定的軋制工藝，要改變這種工藝就不能不估計到軋制的特徵及軋機工作的條件。

### 在單輥傳動的二輥軋機上的軋制過程

在一輥傳動一輥空轉的軋機上疊軋薄板情況示於圖2。這種情況之下上輥通常是不傳動的，它置於下輥之上並無平衡裝置。在軋機空轉時上輥靠着摩擦被下輥帶動，當軋制時上輥也是由下輥靠摩擦來帶動，其與空轉時不同之處在於軋制時是靠着壓在兩輥間的鋼板或疊板來實現的。

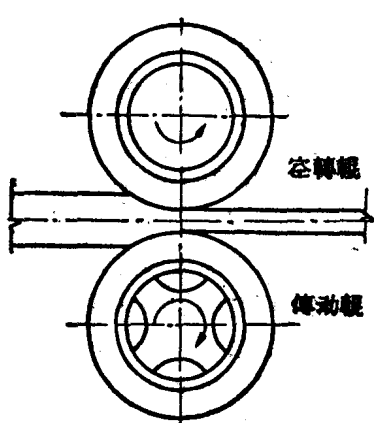


圖2 一輥傳動一輥空轉的軋制圖

這種形式的鋼板軋機之所以被採用是由於其構造簡單（沒有齒輪機架），此外在這種軋機中不會因軋輥圓周速度不同對於疊板軋制產生有害的影響，而在別的軋機則由於軋輥在重車之後直徑常常不同，這種速度的差異是不可避免的。

軋制時金屬與每個軋輥沿咬入弧AB（圖3）相接觸，此弧所對的中心角 $\alpha$ 稱

為咬入角。應該指出，在一輥空轉時所軋金屬的咬入條件大為變坏，因為咬入只靠下輥來進行。但這種情況通常並不限制薄板的軋制，因為其咬入角相當小（ $6^\circ$ — $9^\circ$ ）。

在轧制厚的钢板坯时，有时咬入角較大，上輥备有平衡裝置，使金屬咬入容易。这种情况之下是靠着帶摩擦离合器的特殊齒輪傳动而使上輥轉動的。

軋件在軋輥中轧制时的綫变形用压下量及寬展表示 如下：

$$\Delta h = h_0 - h \text{ 公厘} \quad \Delta b = b - b_0 \text{ 公厘}.$$

由於叠板厚度与变形区長度通常比其宽度小得多，金屬在受压时主要在長度方面流动，因此叠板的寬展几近於無。

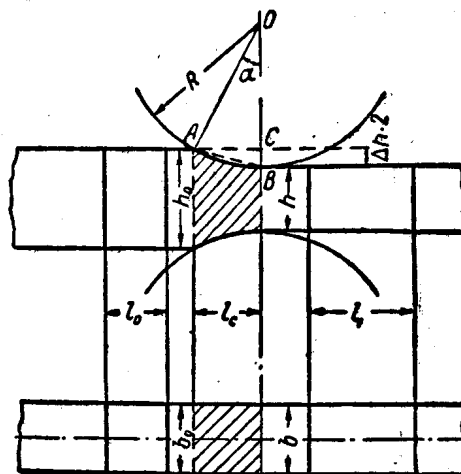


圖 3 变形区的縱切面和橫切面

轧制时金屬变形程度通常以下列主要系数来表示：

相对压下量（%），即綫压下量与叠板原始厚度之比

$$\epsilon = \frac{\Delta h}{h_0} = \frac{h_0 - h}{h_0} \times 100,$$

延伸系数，即叠板轧制后的長度与其原始長度之比

$$\lambda = \frac{l_1}{l_0}.$$

因为轧制时軋件的断面由於軋件延長而減小，故延伸系数常大於1（通常 $\lambda = 1.1 \sim 2.0$ 以上）。

讓我們進一步來研究上輶空轉時軋制過程中受力情況的特  
征，為了說明軋機調整及疊板變形的特徵，這是必要的。

如所週知，軋制時在變形區發生兩種基本力：即電動機為完成軋制功在切線方向所造成的圓周力，和軸承座所承受的使所軋金屬本身變形的徑向力  $P$ 。

根据 A.I. 采利可夫 (Цельков) 的資料 [7]，在最簡單的軋制情况，当兩個軋輥皆傳动且其直徑与圓周速度相等，而所軋金屬以等速运动的时候，則作用於軋輥諸力的合力的方向是垂直的 (圖 4)。

按平衡条件，轴承之反作用力也应该是垂直的，并造成与轴承中摩擦力矩相等的力矩。

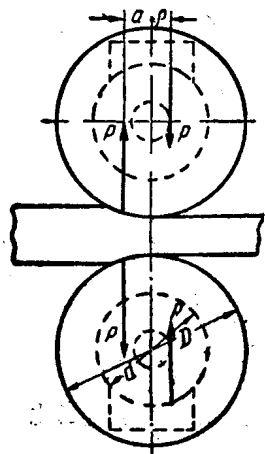
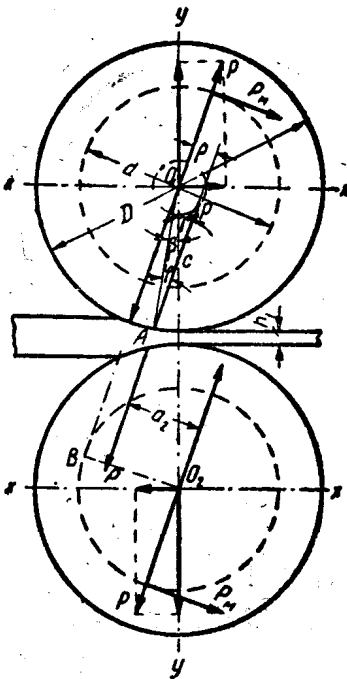


圖 4 普通軋制過程中合力的方向 圖 5 只有一个下輥停動時力的方向



只有当轴承的反作用力等于金属对刺锯的合成压力  $P$ ，并且

只有当轴承的反作用力等於金属对轧辊的合成压力  $P$ , 并且是与摩擦圆相切的垂直方向(圖4)的时候, 上述的条件才能成立。

在駕輶傳動軋制的情况下,所轧金属对上辊的作用力(用沿咬入

入弧上的諸微分力表示之) 可呈一合力  $P$  的形式作用於  $A$  点, 估計到軋輶頸部的摩擦力, 这一合力系在摩擦圓的切線方向 (如圖 5 所示)。而所軋金屬對下輶的合成壓力, 按平衡條件將與加於上輶之  $P$  力在一直線上。

為了轉動兩個軋輶, 必須加於下輶的力矩為

$$M_s = Pa_s + P\mu \frac{d}{2},$$

式中  $d$  = 頸部直徑;

$\mu$  = 摩擦系数;

$a_s$  = 力臂。

力臂  $a_s$  可以由下式得之

$$a_s = BO_s - \rho,$$

式中  $BO_s$  —— 由經過上輶中心並與  $P$  力平行之直線至下輶中心的垂直線;

$\rho$  —— 摩擦圓之半徑。

若以  $\gamma$  表  $P$  力與兩輶中心線之交角, 則  $BO_s$  段之長為;

$$BO_s = (D + h_1) \sin \gamma.$$

由三角形  $ACO$  更得

$$\gamma = \beta + \varphi.$$

$\beta$  角由上輶之合成壓力作用點  $A$  確定之; 而  $\varphi$  角, 即由上輶中心至  $A$  点的半徑與  $P$  力之間的交角, 則可由下式求之

$$\sin \varphi = \frac{2\rho}{D} = \frac{d}{D} \cdot \mu,$$

故力臂  $a_s$  可由下式確定之

$$a_s = (D + h_1) \sin (\beta + \varphi) - \rho.$$

以  $a_s$  之值代入下輶力矩方程式並注意到

$$\rho = \mu \frac{d}{2},$$

則轉動下輶所需力矩之方程式 (估計了兩軋輶頸部摩擦力) 為

$$M_s = P (D + h_1) \sin (\beta + \varphi).$$

因而，單輶傳動的力矩約為雙輶傳動時每一輶所需力矩的兩倍 [7]。

將  $P$  力分为垂直 ( $y$ ) 与水平 ( $x$ ) 二分力，則这些力將於軶輶及軸承上产生側压力，並且这些側压力方向各不相同：在上輶  $x$  分力順軋制方向動作，而在下輶則與金屬移動方向相反。

总的傾倒力矩的力將使机架有按金屬移動方向而傾倒的趨勢。

單輶傳動軋机上作用的力的方向在裝配机架时必須要考慮及之，以便正确選擇及安放側軸瓦，使軶輶有穩定的位置。

疊軋鋼板时軋制力的實驗研究及軶輶上实际压力的測量有着很大的实际意义。

烏拉尔黑色金属学院軋鋼實驗室在上伊塞特工厂 (Верх-Исетский завод) 軋制电机矽鋼片时，及在謝維斯基工厂 (Северск ий Завод) 軋制白鐵皮时，曾进行过这些研究①。这些研究任务是测量軶輶的总压力  $P$  及單位压力  $p$  (公尺/公噸<sup>2</sup>)。

为了测量压力採用測压仪，这測压仪是根据利用电阻傳送器而設計的。УИМ (烏拉尔金属学院——譯者註) 測压仪的構造系一大杯形物，其表面与内部皆貼以由 0.03 公厘粗的銅鎳合金線。这种傳送器按不平衡电桥方式来接綫。

这种測压仪的重要的优点是其直線特性，这种特性既可用實驗来确定，又可以計算校核之。这便能够可靠地把标尺开初部分所得的刻度結果外推到高压区域，这种高压在普通試驗机器上是不可能实现的。

測压仪的电源用發电机来的直流电。量得的不平衡的电流为几个微安培，这用一般的檢流表，灵敏度是完全足够的。

由於軋制疊板时每道延續時間小，因而採用磁性示波器來記錄产生的压力。測压仪安装在有水冷却的底板上，因为上軸承座的溫度超过了 150°。

所有仪表的安装圖及其在研究的測量过程中的相互联系示於

① 研究者为Д.И.苏雅罗夫, И.Ф.扎苏哈及上伊塞特及謝維斯基工厂的工作人员。

圖 6。

研究的結果确定了每道轧制的实际力量並按下式計算了單位压力。

$$P = \frac{P}{bl_1},$$

式中  $P$ ——軋輥上之總壓力；

$b$ ——疊板寬度；

$l_1$ ——變形區長度（考慮了軋輥的彈性壓扁）。

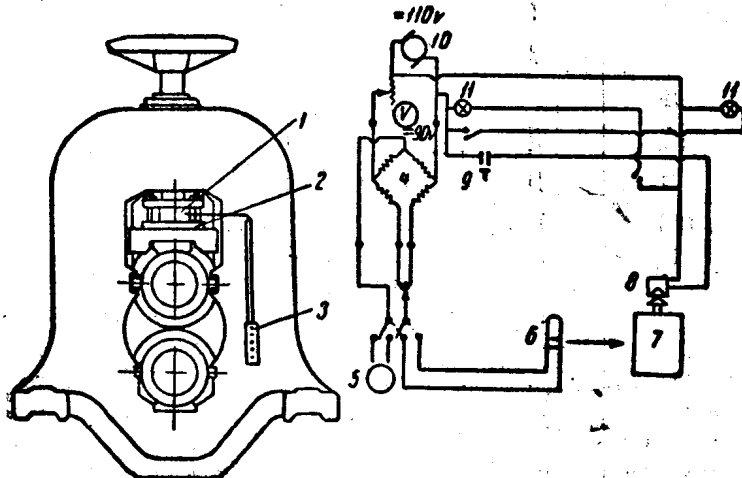


圖 6 激量軋制壓力時儀表安置圖

1—測压仪；2—有水冷却的底板；3—控制盤；4—測压仪電桥；5—檢查  
微安表；6—迴路；7—帶有感光帶的轉鼓；8—磁力接手；9—打開轉鼓  
縫隙並使其旋轉的按扭；10—供電的發電機；11—信號燈

熱軋時在軋輥彈性壓扁的影響下變形區的長度變化很少，因此可按下式確定之

$$l = \sqrt{R \Delta h},$$

式中  $R$ ——軋輥半徑；

$\Delta h$ ——絕對壓下量；

考慮到軋輶的彈性壓扁軋輶的實際半徑按下式求之 [9]

$$R' = R \left[ 1 + \frac{2.3 P}{10^4 \Delta h b} \right],$$

式中  $P$  —— 軋制力；

$b$  —— 叠板寬度；

軋制电机鋼板及白鐵皮时的总压力及單位压力之值彙於表 I 及表 2。

表 1

軋制尺寸为  $750 \times 1500 \times 0.5$  公厘的电机鋼板时压力測量的結果

工 序 序 號	工 序 名 稱	道 次	厚 (公厘)	長 度 $L_1$ (公厘)	延 伸 系 數 $\lambda$	金 屬 溫 度 (°C)	压 力 $P$ (吨)	單 位 压 力 $P$ (公斤/ 公厘 <sup>2</sup> )	軋 輶 直 徑 $D$ (公厘)	
1	單塊薄板 單塊薄板	1	7.00	4.52	380	1.55	870	1200	52	760
		2	4.52	3.35	515	1.35	845	975	62	760
		3	3.35	2.81	615	1.19	815	700	65	760
		4	2.81	2.40	720	1.17	780	630	67	760
		5	2.40	2.16	800	1.11	740	500	70	760
		6	4.32	3.54	975	1.22	700	1050	82	760
2	雙塊薄板 雙塊薄板	7	8.34	2.95	1170	1.20	—	—	—	760
		8	5.90	4.44	780	1.33	850	1220	69	760
3	折疊及加熱 折疊及加熱	9	4.44	3.49	990	1.27	815	975	69	760
		10	8.49	2.79	1115	1.13	775	780	64	760
		11	5.58	4.46	1400	1.23	740	1310	84	760
		12	4.46	3.85	1650	1.18	700	1200	97	760

應該指出，在工艺的溫度之內現有的關於各種鋼号的叠板軋制時總壓力與單位壓力之值的計算資料，與直接測量軋制壓力的結果所得之值，其間有很大的差別。

按 B. A. 恰古諾夫公式計算的單位壓力其值遠比測得者為小，這可用薄板軋機軋鋼機架工作的特殊條件來解釋之。

在軋制過程中軋件送入軋輶，上輶抬升到壓下螺絲的端部，發生猛烈的衝擊。自然，這種衝擊會劇烈影響到測量壓力的結果。